

XIENS Physique filière PSI, 2025
~ Phénomènes de transport, thermoélectricité et ~ applications

Proposition de cours H. Rondin-Khouja
(manque Q19 fin, Q33 fin et Q34)

① Transport de charge et de chaleur dans un matériau métallique

A) Transport de charge en régime continu

1) Dans un réseau métallique, les ions sont toujours supposés fixes et les e^- mobiles.

En effet $m_{ion, métallique} \approx A \times m_p$ où A désigne le nombre de masse.

Prendons $A \approx 50$ pour un métal.

$$\text{Ainsi, } \frac{m_{ion, métallique}}{m_e} = \frac{A \times m_p}{m_e} \approx \frac{50 \times 1,7 \times 10^{-27}}{9,1 \times 10^{-31}} \approx \frac{10^{-26}}{10^{-30}} \approx 10^4$$

L'ion métallique est environ 10^4 fois plus massif qu'un e^- . On le considère donc fixe, et l' e^- très mobile fait conduire le courant.

2) Système: $\{e^-\}$

Ref: terrestre, supposé galiléen

Bilan des forces (BdF):
$$\begin{cases} \vec{F}_e = -e\vec{E} & (\vec{E} = -\text{grad}(V)) \\ \vec{f}_v = -\frac{m}{\tau} \vec{v} \end{cases}$$

\Rightarrow on néglige le poids.

le principe fondamental de la dynamique (PFD) donne:

$$\begin{aligned} m\vec{a} &= \vec{F}_e + \vec{f}_v \Leftrightarrow m \frac{d\vec{v}}{dt} = -e\vec{E} - \frac{m}{\tau} \vec{v} \\ \Leftrightarrow \frac{d\vec{v}}{dt} + \frac{1}{\tau} \vec{v} &= \frac{-e\vec{E}}{m} \quad (1) \end{aligned}$$

①

En régime permanent (RP): $\vec{v} = \vec{v}_0$.

D'où $\vec{v} = \frac{-e\tau}{m} \vec{E}$ donc $\vec{v} \parallel \vec{E}$

Posons $\mu = \frac{e\tau}{m}$ tel que $\vec{v} = -\mu \vec{E}$

②

3) D'après la loi d'Ohm, $\vec{j} = \gamma_0 \vec{E}$ (2)

Or $\vec{j} = \rho \vec{v}$ avec $\rho = -ne$

Soit $-ne\vec{v} = \gamma_0 \vec{E} \Leftrightarrow ne\mu \vec{E} = \gamma_0 \vec{E}$

Donc $\gamma_0 = ne\mu \Leftrightarrow \gamma_0 = \frac{ne^2\tau}{m}$

$$4) R_{el} = \frac{\int_V \vec{E} \cdot d\vec{\tau}}{\int_S \vec{j} \cdot d^2\vec{S}} = \frac{El}{jS} = \frac{El}{\gamma_0 S} = \frac{l}{\gamma_0 S}$$

Or $S = \pi a^2$ donc $R_{el} = \frac{l}{\pi a^2 \gamma_0}$

B) Transport de charge en régime lentement variable

5) Soit $\vec{E} = \vec{E}_0 \cos(\omega t)$. Prenons $\vec{v} = \vec{v}_0 e^{i\omega t}$
 $\vec{v} = \vec{v}_0 e^{i\omega t}$ ou $\vec{v}_0 = \vec{v}_0 e^{i\omega t}$

(1): $\frac{d\vec{v}}{dt} + \frac{1}{\tau} \vec{v} = \frac{-e\vec{E}}{m}$

$\Leftrightarrow i\omega \vec{v} + \frac{1}{\tau} \vec{v} = \frac{-e\vec{E}_0}{m}$

$\Leftrightarrow \vec{v} (1 + i\omega\tau) = \frac{-e\tau}{m} \vec{E}_0 = -\mu \vec{E}_0$

$\Leftrightarrow \vec{v} = \frac{-\mu}{1 + i\omega\tau} \vec{E}_0 \Leftrightarrow \vec{j} = \frac{ne\mu}{1 + i\omega\tau} \vec{E}_0$

Donc $\vec{j} = \gamma(\omega) \vec{E}$

où $\gamma(\omega) = \frac{\gamma_0}{1+i\omega\tau}$

6) Eq. de Maxwell-Gauss (M.G) : $\text{div}(\vec{E}) = \frac{\rho}{\epsilon_0}$ (3)

Eq. de conservation de la charge : $\frac{\partial \rho}{\partial t} + \text{div}(\vec{j}) = 0$ (4)

(2), (4) $\Rightarrow \frac{\partial \rho}{\partial t} + \text{div}(\gamma \vec{E}) = 0$ (3)

$\Rightarrow \frac{\partial \rho}{\partial t} + \frac{\gamma}{\epsilon_0} \rho = 0$

$\Rightarrow \frac{\partial \rho}{\partial t} + \frac{\gamma_0}{1+i\omega\tau} \frac{\rho}{\epsilon_0} = 0$

$\Rightarrow \frac{\partial \rho}{\partial t} + i\omega\tau \frac{\partial \rho}{\partial t} + \frac{\gamma_0}{\epsilon_0} \rho = 0$

$\Rightarrow \tau \frac{\partial^2 \rho}{\partial t^2} + \frac{\partial \rho}{\partial t} + \frac{\gamma_0}{\epsilon_0} \rho = 0$

$\Rightarrow \frac{\partial^2 \rho}{\partial t^2} + \frac{1}{\tau} \frac{\partial \rho}{\partial t} + \frac{\gamma_0}{\tau \epsilon_0} \rho = 0$

Posez $\omega_p^2 = \frac{\gamma_0}{\tau \epsilon_0} = \frac{n e^2 \tau}{m \tau \epsilon_0} \Rightarrow \omega_p = \sqrt{\frac{n e^2}{m \epsilon_0}}$ **oscillation plasma**

En prenant la partie réelle, il vient : $\frac{\partial^2 \rho}{\partial t^2} + \frac{1}{\tau} \frac{\partial \rho}{\partial t} + \omega_p^2 \rho = 0$

(3)

7) Soit a le paramètre de maille : $a \approx 1 \text{ \AA} = 10^{-10} \text{ m}$ (4)
 Pour faire simple, prenons un réseau cubique.



$n \approx \frac{1}{a^3} \approx 10^{30} \text{ m}^{-3}$

population de la maille : $\rho = \gamma \times \frac{1}{\gamma} = 1 \Rightarrow 1 \text{ atome dans la maille pour } 1 e^-$

Pour un conducteur comme le Cu, $\gamma_0 \approx 6 \times 10^7 \text{ S.m}^{-1}$

$\Rightarrow \tau_0 = \frac{n e^2 \tau}{m} \Rightarrow \tau = \frac{m \tau_0}{n e^2}$

AN : $\tau \approx \frac{9,1 \times 10^{-31} \times 6 \times 10^7}{10^{30} \times (1,6 \times 10^{-19})^2} \approx \frac{10^{-30} \times 6 \times 10^7}{10^{30} \times 2 \times 10^{-38}}$

$\Rightarrow \tau \approx 3 \times 10^{-15} \text{ s}$

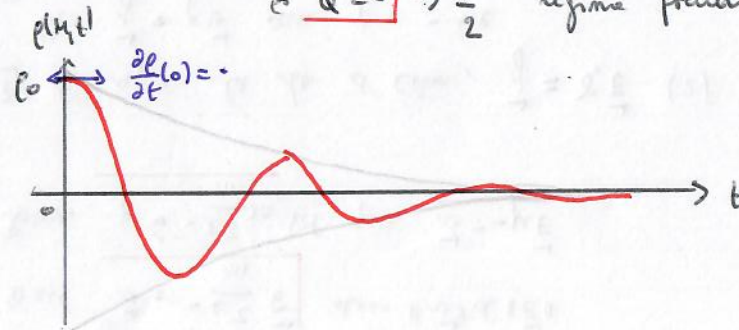
$\omega_p = \sqrt{\frac{n e^2}{m \epsilon_0}} \approx \left(\frac{10^{30} \times 2 \times 10^{-38}}{10^{-30} \times 10^{-11}} \right)^{1/2} = (2 \times 10^{32})^{1/2}$

$\Rightarrow \omega_p \approx 10^{16} \text{ rad.s}^{-1}$

8) Eq du type $\frac{\partial^2 \rho}{\partial t^2} + \frac{\omega_p}{Q} \frac{\partial \rho}{\partial t} + \omega_p^2 \rho = 0$

$\Rightarrow \frac{\omega_p}{Q} = \frac{1}{\tau} \Leftrightarrow Q = \omega_p \tau = 3 \times 10^{-15} \times 10^{16}$

$\Rightarrow Q \approx 3 \Rightarrow \frac{1}{2}$ régime pseudo-périodique



Après 3 oscillations $\rho \approx 0$.

Si $\omega \tau \ll 1$ alors $\gamma \approx \gamma_0$
 l'éq devient: $\frac{d\rho}{dt} + \frac{\gamma_0}{\epsilon} \rho = 0 \rightarrow \rho = \rho_0 e^{-t/\tau}$ où $\tau = \frac{\epsilon_0}{\sigma_0}$
 Avec les cdt, ρ tend très rapidement vers 0.

g) $\frac{d\rho}{dt} + \text{div}(\vec{j}) = 0 \Rightarrow \frac{\partial j_x}{\partial x} = 0$ donc $j_x = j_x(r, \theta, t) \vec{e}_x$
 $\vec{j} = j_x(r, \theta, t) \vec{e}_x$

Principe de Lenz: invariance par rotation d'angle θ autour de (Ox)
 D'où $\vec{j} = j_x(r, t) \vec{e}_x$

d) L'équation de Maxwell-Faraday (MF) donne:

$$\begin{aligned} \text{rot}(\vec{E}) &= -\frac{\partial \vec{B}}{\partial t} \\ \Rightarrow \text{rot}(\text{rot}(\vec{E})) &= \text{rot}\left(-\frac{\partial \vec{B}}{\partial t}\right) \quad \left. \begin{array}{l} \text{th de Schwarz} \\ \text{éq. de Maxwell-Ampère (MA)} \end{array} \right\} \\ \Rightarrow \underbrace{\text{grad}(\text{div}(\vec{E}))}_{=0} - \Delta \vec{E} &= -\frac{\partial}{\partial t} \text{rot}(\vec{B}) \\ \Rightarrow \Delta \vec{E} &= \frac{\partial}{\partial t} (\mu_0 \vec{j} + \epsilon_0 \mu_0 \frac{\partial \vec{E}}{\partial t}) \\ \Rightarrow \Delta \vec{j} &= \mu_0 \gamma_0 \frac{\partial \vec{j}}{\partial t} + \epsilon_0 \mu_0 \gamma_0 \frac{\partial \vec{E}}{\partial t} \quad \left. \begin{array}{l} \text{loi d'Ohm} \\ \vec{j} = \gamma_0 \vec{E} \Leftrightarrow \vec{E} = \frac{\vec{j}}{\gamma_0} \end{array} \right\} \\ &= \epsilon_0 \mu_0 \frac{\partial \vec{j}}{\partial t} \end{aligned}$$

or $\frac{\mu_0 \gamma_0}{\epsilon_0 \mu_0} = \frac{\sigma_0}{\epsilon_0} = \frac{6 \times 10^7}{10^{-11}} \approx 6 \times 10^{18} \text{ OSI} \gg \gg 1 \text{ OSI}$

d'où $\| \mu_0 \gamma_0 \frac{\partial \vec{j}}{\partial t} \| \gg \gg \| \epsilon_0 \mu_0 \gamma_0 \frac{\partial \vec{E}}{\partial t} \| = \| \epsilon_0 \mu_0 \frac{\partial \vec{j}}{\partial t} \|$

⑤ Finalement: $\Delta \vec{j} = \mu_0 \gamma_0 \frac{\partial \vec{j}}{\partial t}$

$$\begin{aligned} \Rightarrow \Delta \vec{j} \cdot \vec{u}_x &= \mu_0 \gamma_0 \frac{\partial j_x}{\partial t} \cdot \vec{u}_x \\ \Rightarrow \Delta j_x &= \mu_0 \gamma_0 \frac{\partial j_x}{\partial t} \end{aligned}$$

On reconnaît une équation de diffusion.

1) $I = \iint_S \vec{j} \cdot d^2\vec{S}$ où $d^2\vec{S} = d^2S \vec{u}_x$ et $\vec{j} = j_x \vec{u}_x$

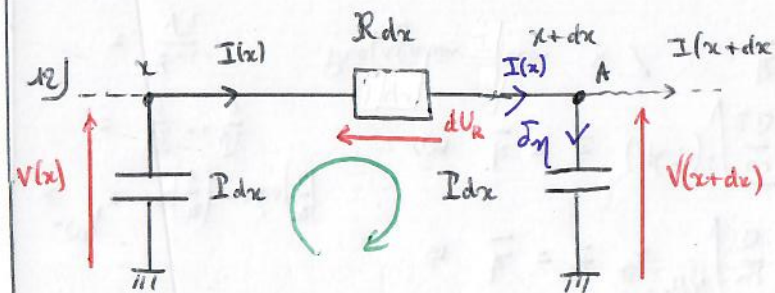
$I = \iint_S j_x d^2S$ donc $|j_x| \times \frac{\pi a^2}{I} = |j_x| \times \frac{S}{I}$ et $\frac{S}{I}$ sans dimension
 tout comme $\frac{L}{a}$.

$\delta = \sqrt{\frac{\gamma}{\mu_0 \gamma_0 \omega}}$ si $\omega \ll \omega_c$, $\delta \propto \frac{1}{\sqrt{\omega}}$

On observe que $|j_x| \propto \left(\frac{\pi a^2}{I}\right) = \text{constante}$ au fur et à mesure que $\delta \propto \frac{1}{\sqrt{\omega}}$

Donc $|j_x| \propto \frac{1}{\sqrt{\omega}}$ donc si $\omega \uparrow$

$j_x(r) \propto e^{-r/\delta}$ donc $R \propto \frac{1}{\delta} = \frac{\sqrt{\mu_0 \gamma_0 \omega}}{2}$



la loi des mailles donne: $V(x, t) - RI(x, t) dx - V(x+dx, t) = 0$

13) On a alors $V(x+dx, t) - V(x, t) = -RI(x, t) dx$

$\Rightarrow \frac{\partial V}{\partial x}(x, t) = -RI(x, t)$

Donc $\frac{\partial^2 V}{\partial x^2}(x, t) = -R \frac{\partial I}{\partial x}(x, t)$

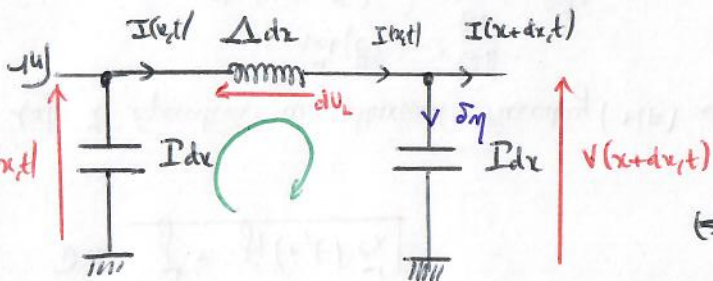
Or la loi des nœuds en A donne: $I(x, t) = \delta\eta + I(x+dx, t)$
 Par ailleurs, $\delta\eta = I dx \frac{\partial V}{\partial t}(x+dx, t)$ donc $\delta\eta = -\frac{\partial I}{\partial x}(x, t) dx$

Donc $-\frac{\partial I}{\partial x}(x, t) dx = I dx \frac{\partial V}{\partial t}(x+dx, t)$

$\Rightarrow \frac{\partial I}{\partial x} = -I \frac{\partial V}{\partial t}$

Donc $\frac{\partial^2 V}{\partial x^2} = RI \frac{\partial V}{\partial t} \Rightarrow \frac{\partial V}{\partial t} = D \frac{\partial^2 V}{\partial x^2}$ où $D = \frac{1}{RI}$

$[D] = [RI]^{-1} = \frac{[T]}{[L^2]} = L^2 \cdot T^{-1} \quad \checkmark$



LDM: $V(x, t) - \Delta dx \frac{\partial I}{\partial t}(x, t) - V(x+dx, t) = 0$

$\Rightarrow \frac{\partial V}{\partial x} = -\Lambda \frac{\partial I}{\partial t} \quad (*)$

À d'après (13) $\delta\eta = I dx \frac{\partial V}{\partial t}(x+dx, t) = -\frac{\partial I}{\partial x}(x, t) dx$

$\frac{\partial}{\partial x} (*) : \frac{\partial^2 V}{\partial x^2} = -\Lambda \frac{\partial}{\partial x} \left(\frac{\partial I}{\partial t} \right) \quad \left. \begin{array}{l} \frac{\partial I}{\partial x} = -I \frac{\partial V}{\partial t} \\ \text{th de Schwarz} \end{array} \right\}$

$\Rightarrow \frac{\partial^2 V}{\partial x^2} = -\Lambda \frac{\partial}{\partial t} \left(\frac{\partial I}{\partial x} \right)$

$\Rightarrow \frac{\partial^2 V}{\partial x^2} = -\Lambda \cdot -I \frac{\partial^2 V}{\partial t^2} \Rightarrow \frac{\partial^2 V}{\partial x^2} = \frac{1}{c^2} \frac{\partial^2 V}{\partial t^2}$ où $c = \frac{1}{\sqrt{\Lambda I}}$

(7)

15) $\frac{\partial V}{\partial t} = D \frac{\partial^2 V}{\partial x^2}$
 16) $\Rightarrow i\omega V = D x - k^2 V \Rightarrow k^2 = \frac{-i\omega}{D} = \frac{-i\pi/2 \omega}{D}$

$\Rightarrow k = \pm e^{-i\pi/4} \sqrt{\frac{3}{D}}$

$e^{-i\pi/4} = \cos\left(\frac{\pi}{4}\right) - i\sin\left(\frac{\pi}{4}\right) = \frac{\sqrt{2}}{2} - i\frac{\sqrt{2}}{2}$
 $= \frac{1-i}{\sqrt{2}}$

$\Rightarrow k = \pm (1-i) \sqrt{\frac{3}{2D}}$

Propagation selon x ↑ : $k = (1-i) \sqrt{\frac{3}{2D}}$

$k = k' + ik''$ où $k' = \sqrt{\frac{\omega}{2D}}$ et $k'' = -\sqrt{\frac{3}{2D}}$

↳ Phénomène de dispersion: $v_p = \frac{d\omega}{dk'} = f(\omega)$

↳ Phénomène d'absorption: $\gamma = \frac{1}{|k''|} = \sqrt{\frac{2D}{\omega}} \neq 0$

$\frac{\partial^2 V}{\partial x^2} = \frac{1}{c^2} \frac{\partial^2 V}{\partial t^2}$
 $\Rightarrow \cancel{f} k^2 V = \cancel{f} \frac{\omega^2}{c^2} V \Rightarrow k^2 = \frac{\omega^2}{c^2} \Rightarrow k = \pm \frac{\omega}{c}$
 Propagation x ↑ : $k = \frac{\omega}{c}$

↳ Pas de dispersion, pas d'absorption

(8)

C) Etude thermique

17) Corps dont la capacité thermique tend vers $+\infty$.
 En d'autres termes, la température ne varie pas si le milieu extérieur change de température.

$C \rightarrow +\infty$

En l'occurrence, ici, $C \gg \lambda$.

18) Il ne faut pas que le gradient de température soit trop important.

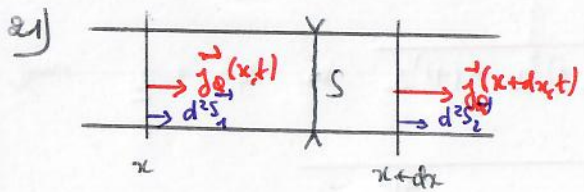
La loi de Fourier donne: $\vec{j}_q = -\lambda \text{grad}(T)$

19) $\frac{\lambda}{\gamma_0} = \text{cte} \Rightarrow \lambda \propto \gamma_0$ donc si $\gamma_0 \uparrow$ alors $\lambda \uparrow$ également

?

3

20) Le diamant est un matériau isolant et la loi de Wiedemann-Franz ne s'applique qu'aux conducteurs.



Appliquons la 1^{ère} ppe de la thermodynamique à l'élement entre x et x+dx.

$d(\delta U) = \delta^2 W + \delta^2 Q$
 (phase incompressible)

Or $\delta^2 Q = \iint_S \vec{j}_q(x,t) \cdot d^2\vec{S}_1 dt - \iint_S \vec{j}_q(x+dx,t) \cdot d^2\vec{S}_2 dt$

$\Leftrightarrow \delta^2 Q = j_q(x,t) S dt - j_q(x+dx,t) S dt$

$\Leftrightarrow \delta^2 Q = -\frac{\partial j_q}{\partial x}(x,t) S dx dt$

$\Leftrightarrow \delta^2 Q = \lambda S \frac{\partial^2 T}{\partial x^2}(x,t) dx dt$

$\left. \begin{array}{l} \\ \\ \end{array} \right\} j_q = -\lambda \frac{\partial T}{\partial x}$

Et $d(\delta U) = \rho S c dT dx$.

D'où $\rho S c dT dx = \lambda S \frac{\partial^2 T}{\partial x^2} dx dt$

$\Leftrightarrow \rho c \frac{\partial T}{\partial t} = \lambda \frac{\partial^2 T}{\partial x^2}$

$\Leftrightarrow \frac{\partial T}{\partial t} = \frac{\lambda}{\rho c} \frac{\partial^2 T}{\partial x^2}$

22) En RP: $\frac{\partial T}{\partial t} = 0 \Rightarrow \frac{dT}{dx^2} = 0 \Rightarrow T(x) = Ax + B$

$T(0) = T_1 \Rightarrow B = T_1$

$T(l) = T_2 \Rightarrow Al + T_1 = T_2 \Rightarrow A = \frac{T_2 - T_1}{l}$

Donc $T(x) = \frac{T_2 - T_1}{l} x + T_1$

23) $R_{th} = \frac{\Delta T}{\Phi_{th}} = \frac{T_1 - T_2}{\Phi_{th}}$ (en régime permanent!!)

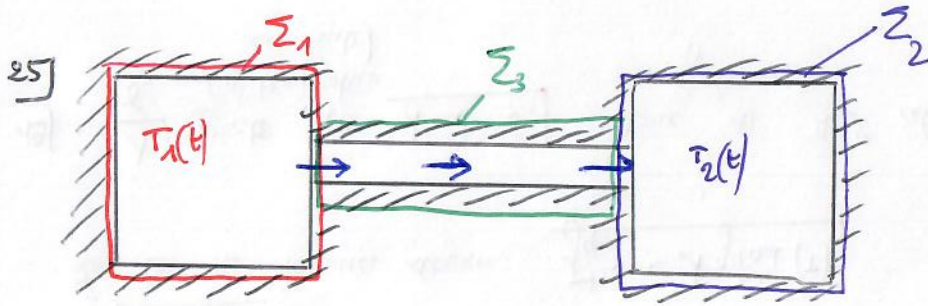
si $\Phi_{th} = \iint_S \vec{j}_e \cdot d\vec{S}$ (en Rf).

D'où $R_{th} = \frac{T_1 - T_2}{\frac{\lambda(T_1 - T_2)S}{l}}$ $\Rightarrow R_{th} = \frac{l}{\lambda S}$. Ici, $S = \pi a^2$

Soit $R_{th} = \frac{l}{\pi a^2 \lambda}$

24) On peut supposer que les températures $T_1(t)$ et $T_2(t)$ sont homogènes à l'échelle du banc ou la variation de température de celui-ci est bien plus courte que la variation de température de S_1 et S_2 . Autrement dit:

$\tau_{éch} \ll \tau_{therm}$ \rightarrow l'éq établie en (21) ne change pas



Isolons Σ_1 .

$dU_1 = C_{th} dT_1 = \delta W_1 + \delta Q_1$

Isolons Σ_2

$dU_2 = C_{th} dT_2 = \delta Q_2$

de même $\delta W_2 = \delta W_3 = 0$

Isolons Σ_3

$\delta W_3 = \delta Q_3$

Isolons $\{ \Sigma_1 + \Sigma_2 + \Sigma_3 \}$: $dU_{tot} = 0$ (système isolé)

$\Rightarrow dU_1 + dU_2 + dU_3 = 0$

$\Rightarrow C_{th} (dT_1 + dT_2) = -cdT$

Par ailleurs : $C_{th} \frac{dT_1}{dt} = \ominus \frac{\delta Q_1}{dt} (= \iint_S \vec{j}_e \cdot d\vec{S} = \Phi_{th}) < 0$ ($T_1 \downarrow$)

$\Rightarrow C_{th} \frac{dT_1}{dt} = \ominus \frac{T_1 - T_2}{R_{th}}$

$\Rightarrow R_{th} C_{th} \frac{dT_1}{dt} + T_1 - T_2 = 0$ (C)

D'autre part, $C_{th} \frac{dT_2}{dt} = + \frac{\delta Q_2}{dt} > 0$ ($T_2 \uparrow$)

$\Rightarrow C_{th} \frac{dT_2}{dt} = + \frac{T_1 - T_2}{R_{th}}$

$\Rightarrow R_{th} C_{th} \frac{dT_2}{dt} + T_2 - T_1 = 0$ (D)

On pose $\tau = R_{th} C_{th}$

21) $\frac{(C) + (D)}{2}$: $\tau \frac{d\bar{T}}{dt} = 0$

(C) - (D) : $\tau \frac{d\Delta T}{dt} + 2\Delta T = 0$

Donc $\bar{T} = ct \Rightarrow T_1(t) + T_2(t) = T_{01} + T_{02}$

$\frac{d\Delta T}{dt} + \frac{2}{\tau} \Delta T = 0 \Rightarrow \Delta T = A e^{-2t/\tau}$

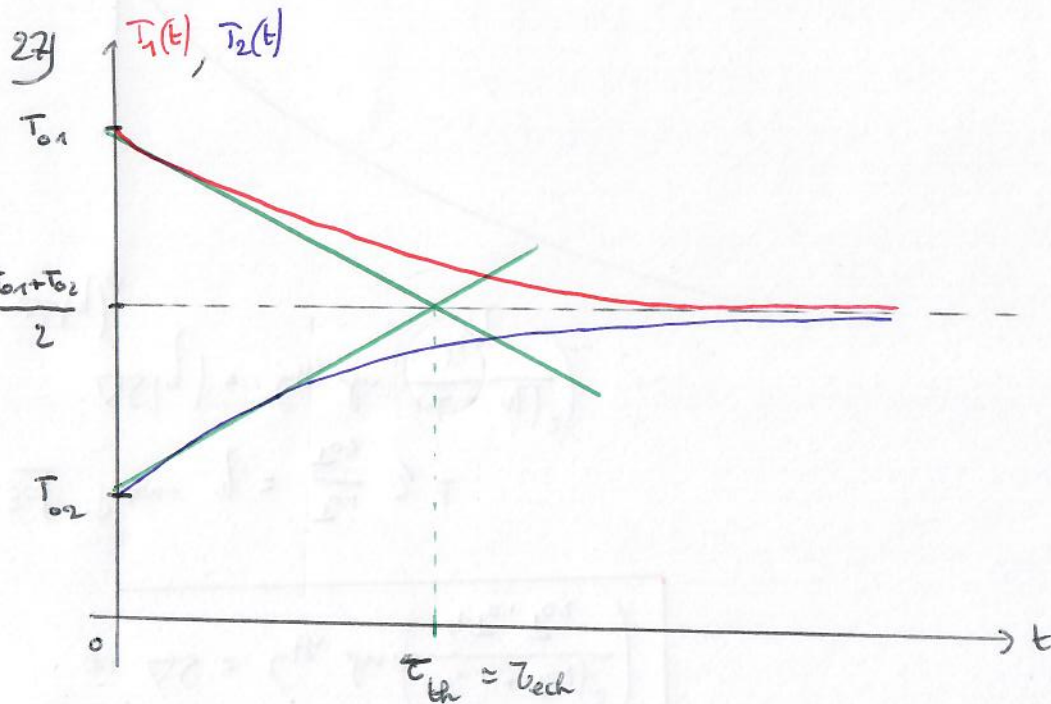
$$\Delta T(0) = T_{01} - T_{02} = A \quad -2t/\tau$$

$$\text{D'où } \Delta T = (T_{01} - T_{02}) e^{-2t/\tau}$$

$$\text{D'où } \begin{cases} T_1(t) + T_2(t) = T_{01} + T_{02} \quad -2t/\tau \\ T_1(t) - T_2(t) = (T_{01} - T_{02}) e^{-2t/\tau} \end{cases}$$

$$\text{Donc } T_1(t) = \frac{1}{2} \left[T_{01} + T_{02} + (T_{01} - T_{02}) e^{-2t/\tau} \right]$$

$$T_2(t) = \frac{1}{2} \left[T_{01} + T_{02} - (T_{01} - T_{02}) e^{-2t/\tau} \right]$$



(13)

28) On avait $\frac{\partial T}{\partial t} = \frac{\lambda}{\rho c} \frac{\partial^2 T}{\partial x^2}$

$$\Rightarrow \frac{\tau}{\tau_{th}} \approx \frac{\lambda}{\rho c} \frac{\tau}{l^2}$$

$$\Rightarrow \tau_{th} \approx \frac{\rho c}{\lambda} l^2$$

Après vérification $\tau_{ech} = \tau_{th} \ll \tau_{therm}$

$$\text{Or } \tau_{therm} = \frac{\tau}{2} = \frac{R_{th} C_{th}}{2}$$

$$\text{Soit } \frac{\rho c}{\lambda} l^2 \ll \frac{R_{th} C_{th}}{2}$$

$$\Leftrightarrow c \ll \frac{\lambda}{2\rho c} R_{th} C_{th} = c'$$

29) L'identité thermodynamique s'écrit: $dU = Tds - PdV$
 Les thermostat étant des phases condensées incompressibles, il vient: $dU = Tds - PdV^0$ et $dU = Tds$

Par ailleurs, $dU = C_{th} dT$ soit $C_{th} dT = Tds$
 et $dS = C_{th} \frac{dT}{T}$

$$\text{Donc } \Delta S = C_{th} \ln \left(\frac{T_f}{T_i} \right) \quad \text{après intégration.}$$

S étant extensive, il vient:

$$\Delta S = C_{th} \ln \left(\frac{T_{f,1}}{T_{i,1}} \right) + C_{th} \ln \left(\frac{T_{f,2}}{T_{i,2}} \right)$$

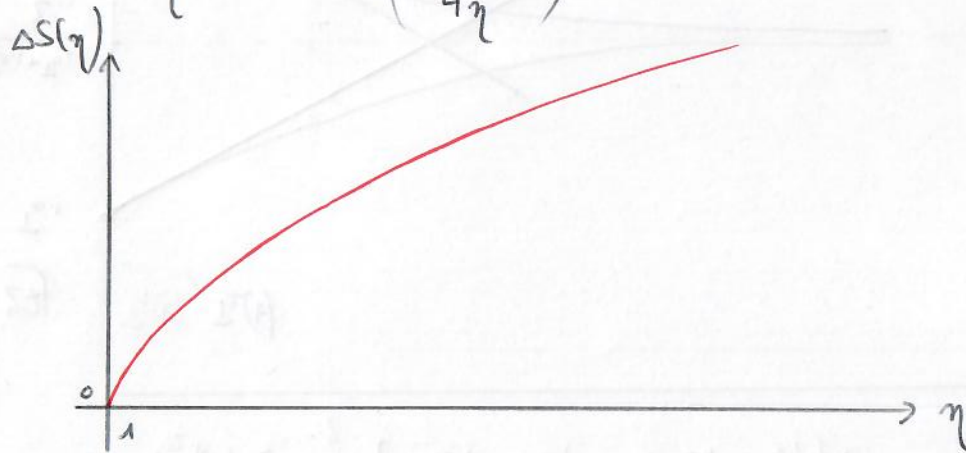
(14)

Donc $\Delta S = C_{th} \ln \left(\frac{\frac{T_{01} + T_{02}}{2}}{T_{01}} \right) + C_{ra} \ln \left(\frac{\frac{T_{01} + T_{02}}{2}}{T_{02}} \right)$ (15)

$\Leftrightarrow \Delta S = C_{th} \ln \left(\frac{(T_{01} + T_{02})^2}{4T_{01}T_{02}} \right)$

30] Posons $\eta = \frac{T_{01}}{T_{02}} \geq 1$

$\Delta S(\eta) = C_{th} \ln \left(\frac{(1 + \eta)^2}{4\eta} \right)$



Source d'irréversibilité, T_{01} et T_{02} qui s'éloignent de plus en plus

Ainsi, $\delta^2 S_e = \frac{\delta Q_{amont}}{T_{amont}} + \frac{\delta Q_{aval}}{T_{aval}} < 0$ (16)

$\Leftrightarrow \delta^2 S_e = \frac{j_e(x,t) S dt}{T(x,t)} - \frac{j_e(x+dx,t) S dt}{T(x+dx,t)}$

$\Leftrightarrow \delta^2 S_e = - \frac{\partial}{\partial x} \left(\frac{j_e(x,t)}{T(x,t)} \right) S dx dt$

Or, $j_e(x,t) = - \lambda \frac{\partial T}{\partial x}(x,t)$ donc $\delta^2 S_e = \lambda S \frac{\partial}{\partial x} \left(\frac{1}{T} \frac{\partial T}{\partial x} \right) dx dt$

Or $\frac{\partial}{\partial x} \left(\frac{1}{T} \frac{\partial T}{\partial x} \right) = \frac{\partial}{\partial x} \left(\frac{1}{T} \right) \times \frac{\partial T}{\partial x} + \frac{1}{T} \left(\frac{\partial^2 T}{\partial x^2} \right)$
 $= - \frac{1}{T^2} \times \frac{\partial T}{\partial x} + \frac{1}{T} \frac{\partial^2 T}{\partial x^2}$

$\Leftrightarrow \frac{\partial}{\partial x} \left(\frac{1}{T} \frac{\partial T}{\partial x} \right) = - \frac{1}{T^2} \left(\frac{\partial T}{\partial x} \right)^2 + \frac{1}{T} \frac{\partial^2 T}{\partial x^2}$

caractère négligeable de la capacité thermique du barreau

Donc $\delta^2 S_e = - \frac{\lambda S}{T^2} \left(\frac{\partial T}{\partial x} \right)^2 dx dt$

$\Leftrightarrow \delta^2 S_e = f(T) \left(\frac{\partial T}{\partial x} \right)^2 dx dt$ où $f: T \mapsto - \frac{\lambda T \alpha^2}{T^2}$

32] Par ailleurs, $d(\delta S) = \frac{1}{T} d(\delta U)$ (plus incompréhensible)

Donc $d(\delta S) = \frac{1}{T} p c S dt dx = f(T) \left(\frac{\partial T}{\partial x} \right)^2 dx dt + \delta^2 S_e$

caractère négligeable de la capacité thermique du barreau

question difficile

31] On isole { tranche dx du barreau }.

Le 2nd ppe de la thermodynamique donne:

$d(\delta S) = \delta^2 S_e + \delta^2 S_c$

NB: l'énoncé n'est pas très rigoureux ici, $\delta^2 S_e$ est un 1er ordre d'ordre 2 donc on écrit $\delta^2 S_e$ et pas δS_e

Le système est en contact en amont avec une source de température $T(x,t)$ et en aval avec une source de température $T(x+dx,t)$

Posons $\delta s_v = \frac{\delta^2 S_c}{d\delta}$ où $d\delta = S dx$ avec $S = \pi a^2$ (17)

Donc $\frac{\partial s_v}{\partial t} + \frac{f(T)}{S} \left(\frac{\partial T}{\partial x}\right)^2 = 0$

$\Leftrightarrow \frac{\partial s_v}{\partial t} = -\frac{f(T)}{\pi a^2} \left(\frac{\partial T}{\partial x}\right)^2$

Donc $\frac{\partial s_v}{\partial t} = -\frac{\lambda}{T^2} \left(\frac{\partial T}{\partial x}\right)^2 > 0$

Cette variation est toujours positive, le gradient de température est source d'irréversibilité.

33) on observe une oscillation de la température dans le banc au due au forçage sinusoïdal des conditions limites.

De plus, on observe un déphasage au fu et à mesure que le capteur avance dans le banc.

Enfin, les variations de température s'atténuent d'autant plus que le capteur avance dans le banc (effet de peau)

?

34)

?

18

5) Effet thermoélectrique

35) $\vec{j}_q = -\lambda \text{grad}(T) - T\alpha\gamma \text{grad}(V) = \alpha\gamma \text{grad}(T)$

Or $\vec{j} = -\gamma \text{grad}(V) - \alpha\gamma \text{grad}(T)$

En l'absence de mouvement macroscopique de charge, $\vec{j} = \vec{0}$.

D'où $-\gamma \text{grad}(V) = \alpha\gamma \text{grad}(T)$

Donc $\vec{j}_e = -\lambda \text{grad}(T) + T\alpha^2\gamma \text{grad}(T)$

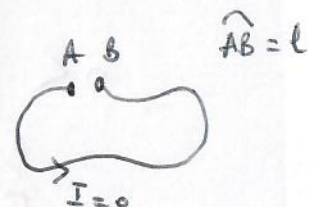
$\vec{j}_e = -\underbrace{(\lambda - \alpha^2\gamma T)}_{=K(T)} \text{grad}(T)$

36) En circuit ouvert, $\vec{j} = \vec{0}$, donc :

$\vec{0} = -\gamma \text{grad}(V) - \alpha\gamma \text{grad}(T)$

$\Rightarrow 0 = -\gamma \int_A^B \text{grad}(V) \cdot d\vec{\ell} - \alpha\gamma \int_A^B \text{grad}(T) \cdot d\vec{\ell}$

$\Rightarrow 0 = -\gamma(V(l) - V(0)) - \alpha\gamma(T(l) - T(0))$



Donc $V(l) - V(l_0) + \alpha(T(l) - T(l_0)) = 0 \Leftrightarrow V(l_0) - V(l) = -\alpha(T(l_0) - T(l))$
 $\Leftrightarrow V(l_0) - V(l) = -\beta(T(l_0) - T(l))$ où $\beta = +\alpha$

37) $\vec{f}_s = \frac{1}{T} \vec{f}_g = -\frac{\lambda}{T} \vec{\text{grad}}(T) - \alpha \gamma \vec{\text{grad}}(V)$
 $\alpha \vec{j} + \alpha \gamma \vec{\text{grad}}(T)$

Donc $\vec{f}_s = -\frac{\lambda}{T} \vec{\text{grad}}(T) + \alpha \vec{j} + \alpha \gamma \vec{\text{grad}}(T)$

$\Leftrightarrow \vec{f}_s = \alpha \vec{j} - \left(\frac{\lambda}{T} - \alpha \gamma\right) \vec{\text{grad}}(T)$

$\Leftrightarrow \vec{f}_s = \alpha \vec{j} - \frac{1}{T} (1 - \alpha \gamma T) \vec{\text{grad}}(T)$
 $= K$ (d'après 35)

$\Leftrightarrow \vec{f}_s = \alpha \vec{j} - \frac{K}{T} \vec{\text{grad}}(T)$

une partie de

α , le pouvoir thermoélectrique quantifie V l'entropie créée. Jusqu'à présent, on avait vu que l'entropie ne dépendait que de paramètres thermodynamiques. Cependant, le couplage thermoélectrique et l'apparition de nouveaux coeff. tels que α réfute ceci.

38) $\frac{\partial s_c}{\partial t} = \vec{f}_s \cdot \left(-\frac{\vec{\text{grad}}(T)}{T}\right) + \vec{j} \cdot \left(-\frac{\vec{\text{grad}}(V)}{T}\right)$
 $= \left(\alpha \vec{j} - \frac{K}{T} \vec{\text{grad}}(T)\right) \cdot \left(-\frac{\vec{\text{grad}}(T)}{T}\right)$
 $+ \vec{j} \cdot \left(-\frac{\vec{\text{grad}}(V)}{T}\right)$

19

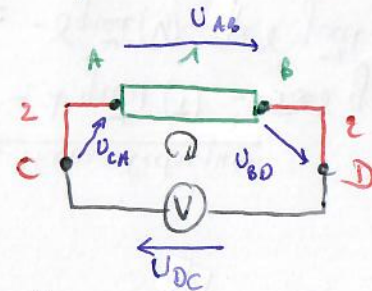
$\Leftrightarrow \frac{\partial s_c}{\partial t} = K \left(\frac{\vec{\text{grad}}(T)}{T}\right)^2 - \frac{\alpha}{T} \vec{j} \cdot \vec{\text{grad}}(T) - \frac{1}{T} \vec{j} \cdot \vec{\text{grad}}(V)$ (20)
 $= K \left(\frac{\vec{\text{grad}}(T)}{T}\right)^2 + \frac{\vec{j}}{\gamma T} \underbrace{\left(-\gamma \vec{\text{grad}}(V) - \gamma \alpha \vec{\text{grad}}(T)\right)}_{=\vec{j}}$

Donc $\frac{\partial s_c}{\partial t} = K \left(\frac{\vec{\text{grad}}(T)}{T}\right)^2 + \frac{\vec{j}^2}{\gamma T} > 0$

Les effets thermoélectriques sont irréversibles.

39) Le voltmètre ayant une impédance d'entrée quasiment ∞ , le courant est quasiment nul. On peut donc se placer en circuit ouvert.

40)



$U_{CA} + U_{AB} + U_{BD} + U_{DC} = 0$ (loi des mailles) (LOM) Ω

$\Leftrightarrow V_A - V_C + V_B - V_A + V_D - V_B + V_C - V_D = 0$
 $\Leftrightarrow V_C - V_A + V_A - V_B + V_B - V_D + V_D - V_C = 0$
 $\Leftrightarrow -\alpha_2 (T_C - T_A) - \alpha_1 (T_A - T_B) - \alpha_2 (T_B - T_D) + V_D - V_C = 0$
 $\Leftrightarrow \alpha_2 (T_A - T_B) - \alpha_1 (T_A - T_B) = S_{12} (T_A - T_B)$
 $\Leftrightarrow S_{12} = \alpha_2 - \alpha_1$

41) Il suffit de réaliser le montage précédent, en remplaçant l'un des deux conducteurs par un matériau inconnu.

$$\text{Ainsi, } \begin{cases} S_{10} = \alpha_1 - \alpha_0 \\ S_{20} = \alpha_0 - \alpha_2 \end{cases} \Rightarrow S_{10} + S_{20} = -S_{12}$$

(21)

$$R_0 = R(\theta=0) = \frac{\rho_0 l}{S}$$

(22)

$$\begin{aligned} R &= R_0 + R' \Leftrightarrow R' = R - R_0 = \frac{\rho}{S} (\rho - \rho_0) \\ \text{Or } \rho &= \rho_0 + \rho_0 A\theta \text{ donc } \rho - \rho_0 = \rho_0 A\theta \end{aligned} \left. \begin{array}{l} \\ \\ \end{array} \right\} \begin{array}{l} R' = \frac{\rho_0 l}{S} A\theta \\ \Leftrightarrow R' = R_0 A\theta \end{array}$$

45) LDM₁: $E - R_0 i_2 - R i_2 = 0$ (1) donc $i_2 = \frac{E}{R_0 + R}$
 LDM₂: $E - R_0 i_3 - R_0 i_3 = 0$ (2) donc $2R_0 i_3 = E \Leftrightarrow R_0 i_3 = \frac{E}{2}$
 LDM₃: $U - R_0 i_3 + R i_2 = 0$ (3)
 LDM en A: $i_1 = i_2 + i_3$ (4) (inutile)

$$\begin{aligned} (3): U &= + R_0 i_3 - R i_2 \\ \Leftrightarrow U &= + \frac{E}{2} - R i_2 \end{aligned}$$

$$\Leftrightarrow U = + \frac{E}{2} - \frac{ER}{R_0 + R}$$

$$\Leftrightarrow U = \frac{+E(R_0 + R) - 2ER}{2(R_0 + R)} = \frac{E(\underbrace{R_0 - R}_{-R'})}{2(R_0 + R)}$$

" $2R_0 + R'$ "

$$\Leftrightarrow U = -\frac{E}{2} \times \frac{R'}{R' + 2R_0}$$

Donc $U = -\frac{E}{2} \times \frac{R_0 A\theta}{R_0 A\theta + 2R_0}$

$$\Leftrightarrow U = -\frac{E}{2} \times \frac{1}{1 + 2/A\theta}$$

II Mesures de températures

A Mesure de température avec un conducteur ohmique

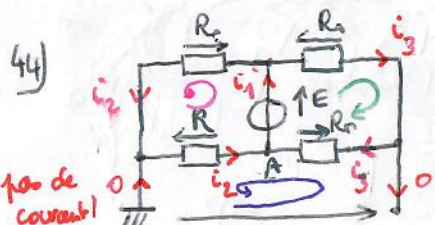
42) ρ_0 est la résistivité du matériau lorsque $\theta = 0^\circ\text{C}$

lorsque $\theta = 850^\circ\text{C}$, $\begin{cases} A\theta \approx 10^3 \times 3,9 \times 10^{-3} \approx 3,9 \\ B\theta^2 \approx 10^6 \times (-5,8 \times 10^{-7}) \approx 0,6 \end{cases}$

$\frac{A\theta}{B\theta^2} \approx \frac{3,9}{0,6} \approx 7$ donc $A\theta \gg B\theta^2$ pour la plus haute température. On peut donc écrire en 1^{ère} approximation que: $\rho(\theta) = \rho_0 (1 + A\theta)$

43) $A\theta_{\text{max}} > 1 \Leftrightarrow A > \frac{1}{\theta_{\text{max}}}$

Lorsque $\theta \uparrow$, l'agitation thermique \uparrow (les e^- sont plus mobiles et ont plus tendance à percuter les nœuds du réseau cristallin), donc la résistivité du matériau augmente.



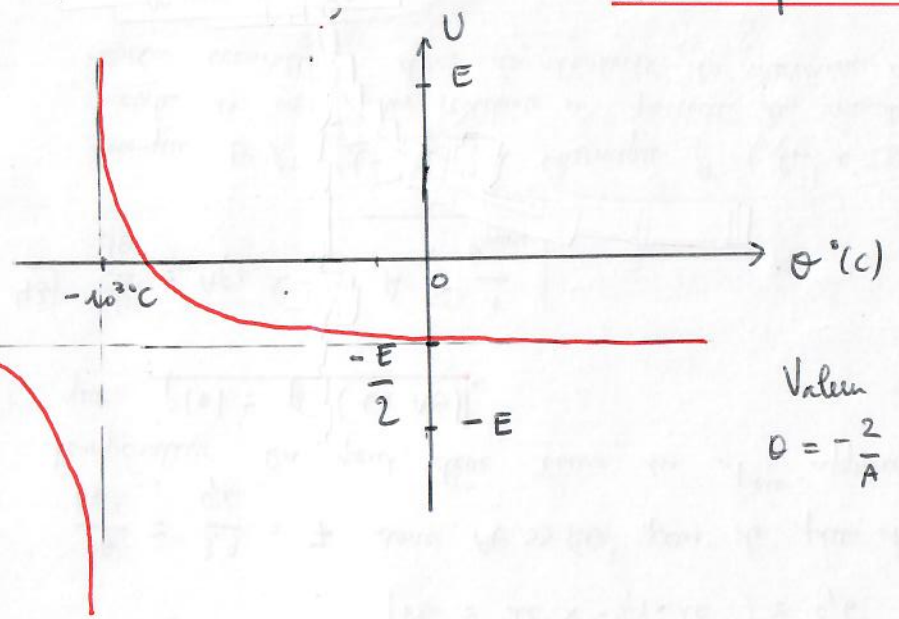
$R = R_0 + R'$

$R = \rho l / S$ par définition.

> sens du courant (arbitraire! chaîne)

46) $\sigma_\theta = \frac{dU}{d\theta} = -\frac{E}{2} \times \frac{\frac{2}{(A\theta)^2}}{\left(1 + \frac{2}{A\theta}\right)^2}$

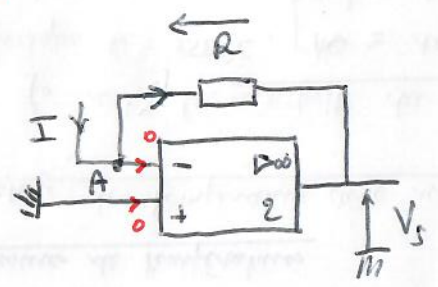
Représentons $U = f(\theta)$



Valeur interdite $\theta = -\frac{2}{A} \sim -10^3 \text{ } ^\circ\text{C}$

Le système est très fin sensible pour $\theta > 0^\circ\text{C}$

47)

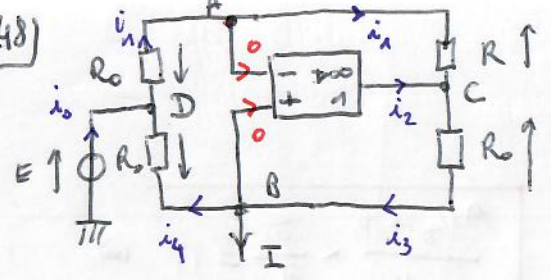


ALI idéal en régime linéaire $V_S \leq V_{SAT}$
 $i_{+2} = i_{-2} = 0$
 $v_{+2} = v_{-2} = 0$ (v_{+2} relié à la masse)

LON en A : $I = 0 + \frac{V_A - V_S}{R} \Rightarrow I = -\frac{V_S}{R}$ ($V_A = V_- = V_+ = 0$)

L'ALI 2 est en montage inverseur. Il permet de rendre V_S proportionnel à I (mais le signe est chargé)

48)



LON en A en potentiel : $\frac{V_D - V_A}{R_0} = 0 + \frac{V_A - V_C}{R}$

Or $V_A = v_{-1} = v_{+1} = v_{-2} = v_{+2} = 0$
 $V_D = E$

Donc $\frac{E}{R_0} = -\frac{V_C}{R} \Rightarrow V_C = -\frac{R}{R_0} E$ (1)

LON en B en potentiel : $\frac{V_C - V_B}{R_0} = 0 + \frac{V_B - V_0}{R_0} + I$

($V_B = v_{+1} = 0$) $\Rightarrow \frac{V_C}{R_0} = \frac{-E}{R_0} + I$

$\Rightarrow V_C = -E + R_0 I$ (2)

(1) dans (2) donne : $-\frac{R}{R_0} E = -E + R_0 \times \left(\frac{V_S}{R}\right)$

$\Rightarrow \frac{R_0}{R} V_S = E \left(\frac{R}{R_0} - 1\right)$

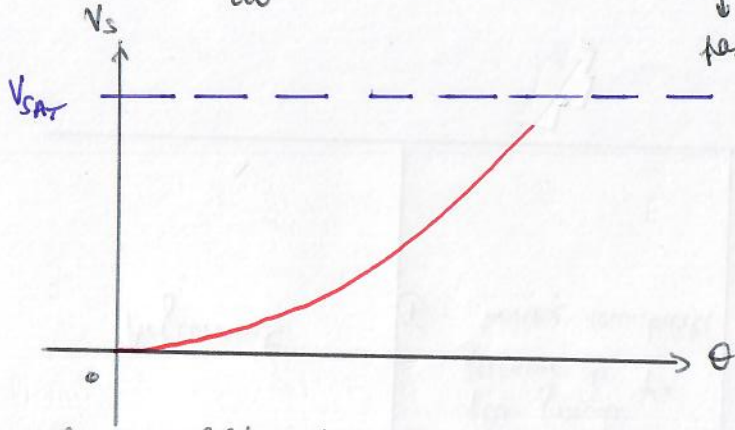
$\Rightarrow \frac{R_0}{R} V_S = E \times \frac{R - R_0}{R_0} = R'$
 $= R_0 + R$

$\Rightarrow V_S = E \frac{(R_0 + R') R'}{R_0^2}$

Donc $V_S = E \frac{(R_0 + R_0 + R) R_0 + R_0^2}{R_0^2} \Rightarrow V_S = E (A\theta + (A\theta)^2)$

49) $\rho_{\theta} = \frac{dV_s}{d\theta} = EA + 2E\theta$ (linéaire) (25)

pas de discontinuité



La sensibilité est bien plus importante, avec un profil quadratique.

→ Toutefois, il faut faire attention à rester dans le domaine de linéarité de l'ATI ($V_s < V_{SAT}$)

$\Rightarrow E(A\theta + (A\theta)^2) < V_{SAT}$

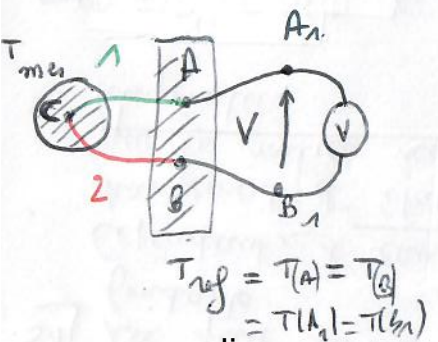
Si $R=R_0$, alors $\theta=0$ et donc $\tilde{V}_{\theta} = EA = 3,9 \times 10^{-2} V.C^{-1}$

B Utilisation de jonctions thermoelectriques pour la thermometrie

50) $V = V_A - V_B$



$AB = l$ \downarrow si α ne dépend pas de T
 $V_A - V_B = -\alpha(T_A - T_B)$
 (rappel de Q36)



On a : $\vec{0} = +\nabla \text{grad}(V) + \alpha \nabla \text{grad}(T)$
 $\Leftrightarrow \alpha \text{grad}(T) + \text{grad}(V) = \vec{0}$

Le voltmètre ayant une impédance ∞ , on se place en circuit ouvert

Intégrons entre A_1 et B_1 .

$\int_{A_1}^{B_1} \alpha \text{grad}(T) \cdot d\vec{l} + \int_{A_1}^{B_1} \text{grad}(V) \cdot d\vec{l} = 0$
 $= dT \quad = dV$

$\Leftrightarrow \int_{T(A_1)}^{T(B_1)} \alpha dT + \int_{V(A_1)}^{V(B_1)} dV = 0$

$\Leftrightarrow \int_{T(A_1)}^{T(A)} \alpha_{Cu} dT + \int_{T(A)}^{T(C)} \alpha_1(T) dT + \int_{T(C)}^{T(B)} \alpha_2(T) dT + \int_{T(B)}^{T(B_1)} \alpha_{Cu} dT$

$+ \int_{V(A_1)}^{V(C)} dV + \int_{V(C)}^{V(B)} dV + \int_{V(B)}^{V(B_1)} dV = 0$

$\Leftrightarrow \int_{T_{ref}}^{T_{mes}} \alpha_1(T) dT + \int_{T_{mes}}^{T_{ref}} \alpha_2(T) dT + \int_{V(A)}^{V(B)} dV = 0$
 $= -V$

$\Leftrightarrow V = \int_{T_{ref}}^{T_{mes}} \alpha_1(T) dT - \int_{T_{ref}}^{T_{mes}} \alpha_2(T) dT$

$\Leftrightarrow V = \int_{T_{ref}}^{T_{mes}} (\alpha_1(T) - \alpha_2(T)) dT$

Soit $T_{mes} - T_{ref} = \Delta T$
 si $\alpha_1(T) - \alpha_2(T) = cte$
 i.e. α_1 et α_2 ne dépendent pas de T

51) On peut utiliser un bain de glace fondante.
Cependant, l'eau doit être pure pour que le changement d'état se fasse à 0°C et, il faut que le milieu soit agité pour homogénéiser sa température.

(27)

52) La sensibilité des thermocouples J, E et K est globalement meilleure que les thermocouples B et S pour $\theta \geq 0^{\circ}\text{C}$. Cependant B et S explorent plus de températures.

53) La sensibilité est identique pour tous les thermocouples pour $\theta \leq 0^{\circ}\text{C}$.

La sensibilité est bien meilleure comparée à celle de la thermorésistance couplée à un pont de Wheatstone, et relativement comparable au montage thermorésistance ATI₁ et ATI₂. Cependant, la thermorésistance ne permet pas d'explorer le domaine $\theta \leq 0^{\circ}\text{C}$ contrairement au thermocouple, ce qui rend celui-ci meilleur.

Thermocouples B et S	AVANTAGES	INCONVÉNIENTS
Arguments	⊕ : exploration d'une plus grande gamme de T° . ⊕ : bonne sensibilité	⊖ prix ⊖ moins sensible que les thermocouples J, E, K moins chers pour TE $[0; 1300]^{\circ}\text{C}$

54) - Effet Peltier : réfrigérateurs
- Effet Thomson : exploration spatiale, notamment pour alimenter les sondes

(28)

NB : Pour toute remarque, écrire à l'adresse mail hugo.vandier-houys@ac-versailles.fr